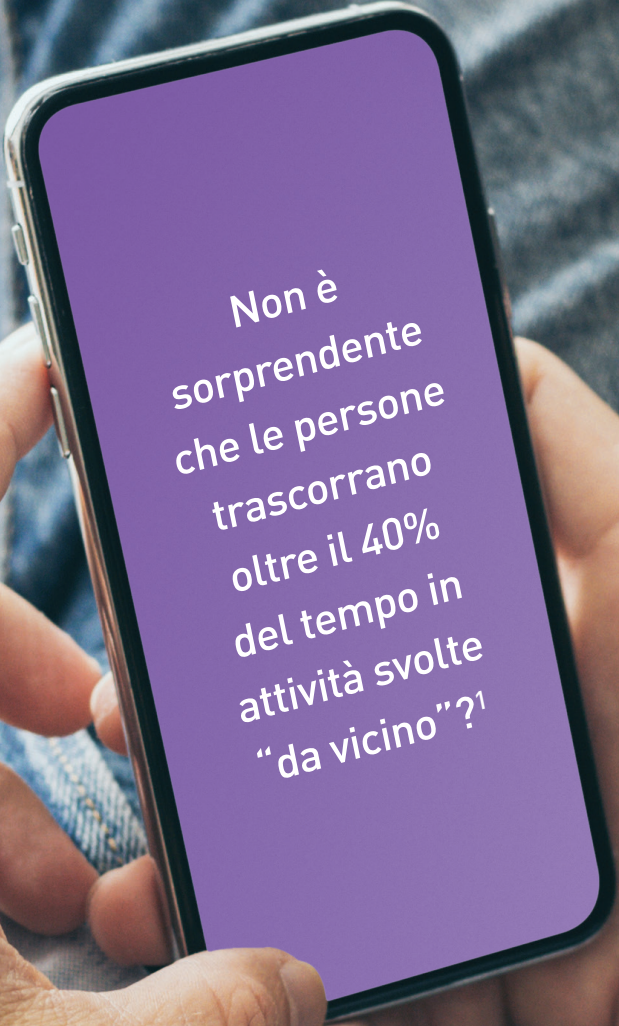




CONTROLLO TOTALE
CON LA COMBINAZIONE DI
**VIVINEX™ GEMETRIC™ &
VIVINEX™ GEMETRIC™ PLUS**



La nostra famiglia di IOL trifocali
progettate per migliorare la visione
dei pazienti



Non è sorprendente che le persone trascorrono oltre il 40% del tempo in attività svolte "da vicino"?!

Per poter fare a meno degli occhiali, occorre una visione d'alta qualità da lontano fino a molto vicino.

IL PERCORSO VERSO L'INDIPENDENZA DAGLI OCCHIALI

Vivinex™ Gemetric™> ECCELLENTE> OTTIMA> BUONA>

Vivinex™ Gemetric™ Plus> OTTIMA> BUONA> ECCELLENTE>

DISTANZA DI VISIONE



INTERMEDIA

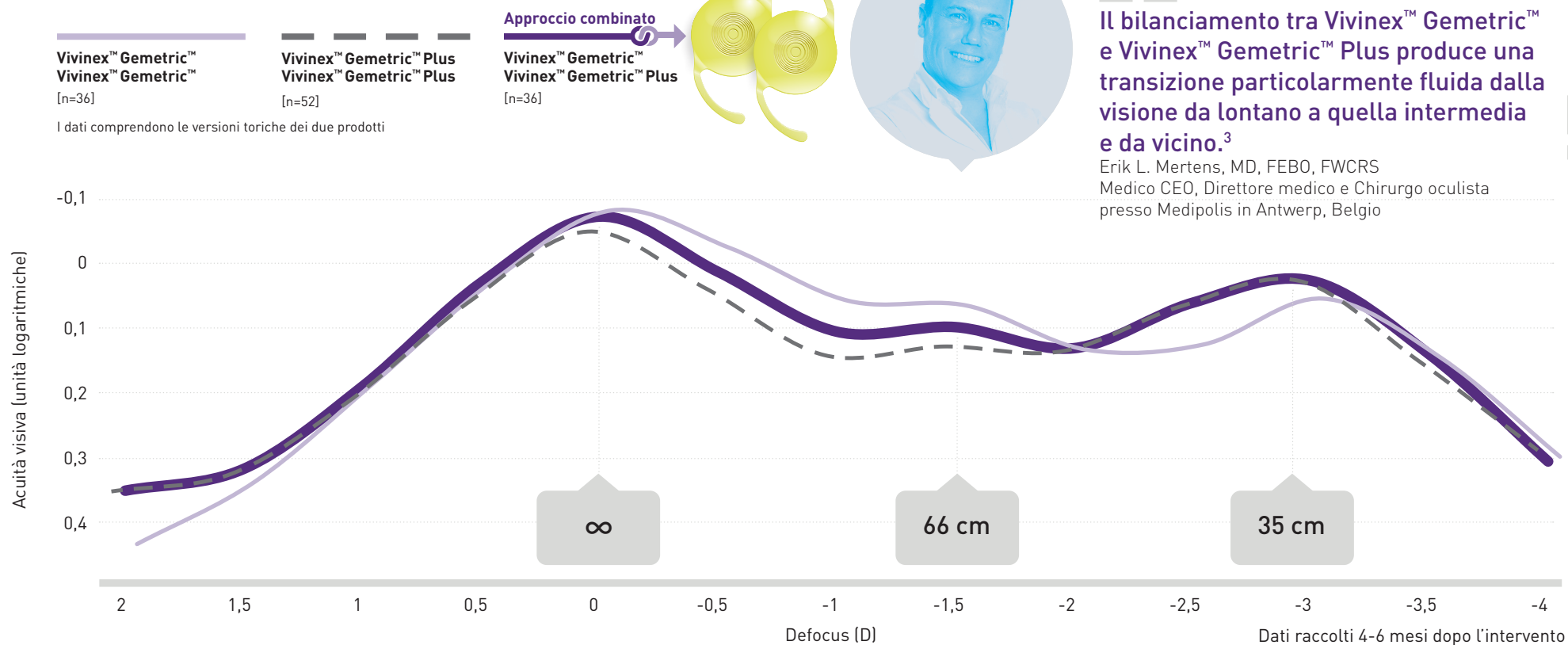


DA VICINO



La combinazione offre un continuo e ampio range di visione

Defocus binoculare del Gruppo di studio²



“
Il bilanciamento tra Vivinex™ Gemetric™ e Vivinex™ Gemetric™ Plus produce una transizione particolarmente fluida dalla visione da lontano a quella intermedia e da vicino.³
”

Erik L. Mertens, MD, FEBO, FWCRS
Medico CEO, Direttore medico e Chirurgo oculista presso Medipolis in Antwerp, Belgio

Combinazione di Vivinex™ Gemetric™ & Vivinex™ Gemetric™ Plus

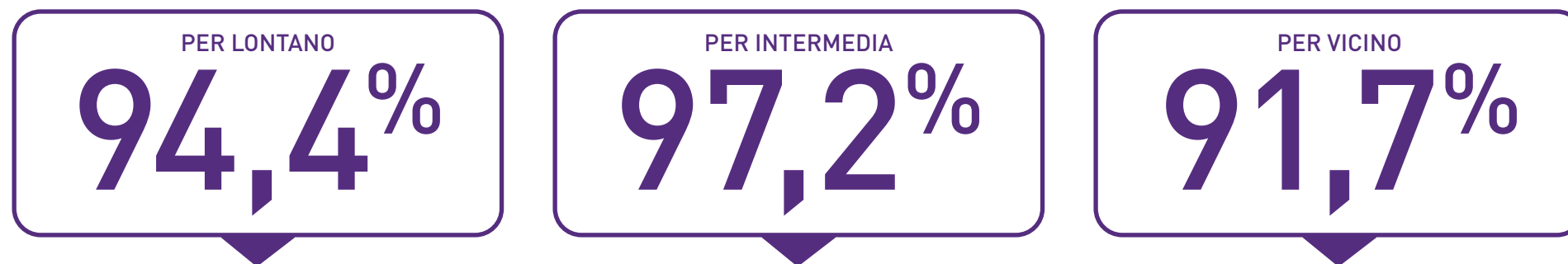
ECCELLENTE → OTTIMA → ECCELLENTE

DA LONTANO INTERMEDIA DA VICINO

Combinare le distribuzioni della luce senza aggiungere potere diottrico per una visione continua, da lontano a vicino

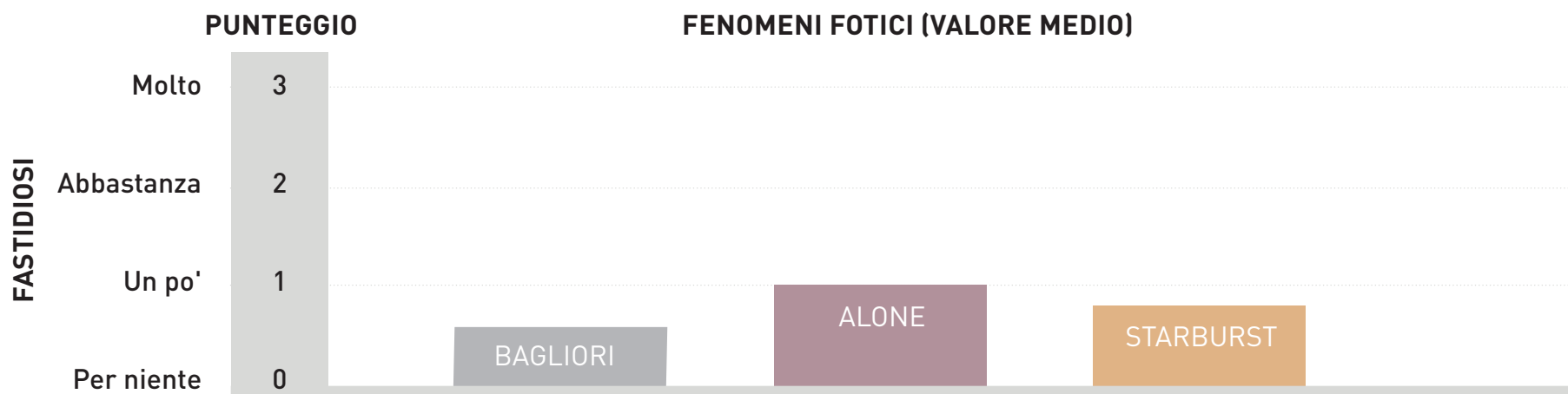
Esiti riferiti dai pazienti

6 mesi dopo l'intervento i pazienti riferiscono un'elevata indipendenza dagli occhiali e soddisfazione grazie alla combinazione di Vivinex™ Gemetric™ e Vivinex™ Gemetric™ Plus (n=36)²



Oltre il 90% dei pazienti ha dichiarato di avere indipendenza dagli occhiali ad ogni distanza.

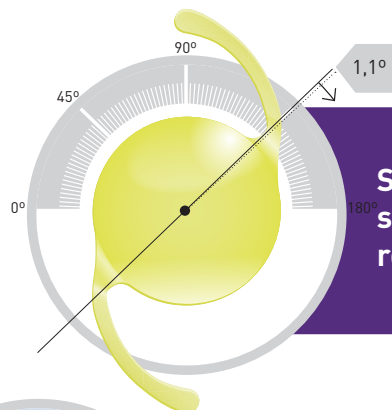
Il punteggio medio dei fenomeni fotici si è situato fra "un po' fastidiosi" e "per niente fastidiosi" in tutti i gruppi Vivinex Gemetric (n=125)²



Dati raccolti 4-6 mesi dopo l'intervento utilizzando il Questionario sulla Qualità della visione di McAlinden

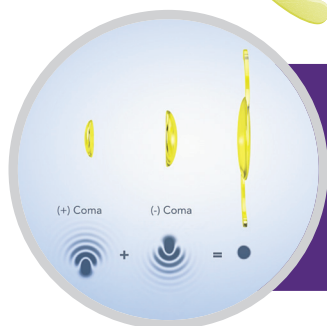
Realizzata sulla piattaforma Vivinex™

Tutta l'offerta di IOL Vivinex™



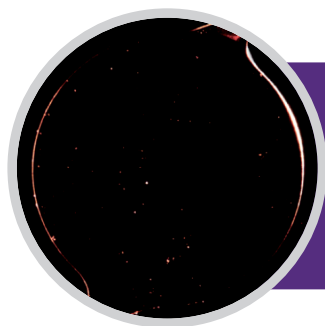
Straordinaria stabilità rotazionale

Rotazione media di 1,1° (intervallo: 0,0° – 5,0°)
Dopo l'intervento il 100% delle lenti (n=103) mostrava una rotazione di $\leq 5^\circ$ rispetto all'asse iniziale in tutte le visite di follow-up a 1 ora, 1 settimana, 1 mese e 6 mesi⁴



Migliore qualità dell'immagine

Presenta il design asferico dell'ottica Vivinex brevettato, che compensa in parte l'aberrazione sferica corneale e tollera maggiormente le fonti di coma rispetto al design sferico standard⁵



Materiale e design delle IOL

Materiale della IOL glistening-free,⁶ grado 0 basato su Miyata et al.⁷ con $11,6 \pm 5,7$ MV/mm²

Trattamento all'ossigeno attivo, superficie liscia e bordo dell'ottica squadrato per ridurre la PCO^{8,9,10,11,12,13,14,15}

Zona diffrattiva nei 3,2 mm centrali

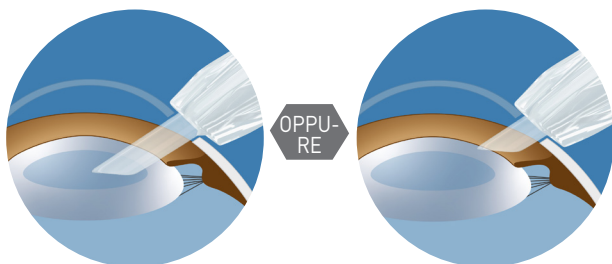
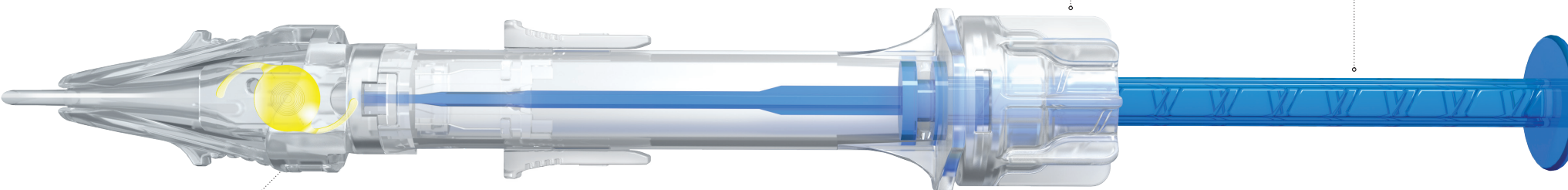
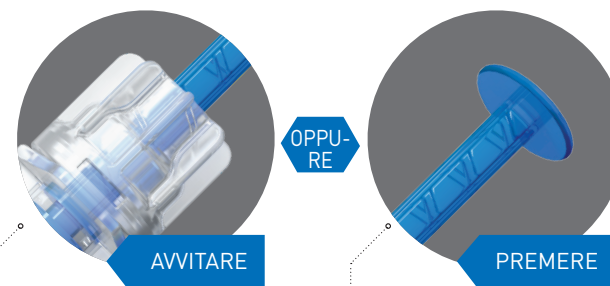


Superficie dell'ansa ruvida e testurizzata per ridurre la potenziale adesione alla superficie ottica durante l'iniezione e facilitare il grip all'interno del sacco capsulare.

Fornite nell'iniettore precaricato multiSert™

Modalità a pressione e a vite e possibilità di controllare la profondità d'inserimento

Vivinex™ multiSert™ è un sistema di iniezione 4 in 1 che consente di eseguire l'iniezione in modo assolutamente coerente con la procedura di inserimento scelta¹⁶



Iniezione nel sacco capsulare

*Selettore di profondità:
Posizione predefinita*

Iniezione attraverso il tunnel dell'incisione

*Selettore di profondità:
Posizione avanzata*



“

Vivinex™ Gemetric™ e l'iniettore multiSert™ sono una combinazione perfetta. Il prodotto combina un'ottica eccellente con un materiale eccellente e un dispositivo di iniezione della IOL eccellente.¹⁷

Ramin Khoramnia, Capo del dipartimento di chirurgia refrattiva e della cataratta dell'Ospedale oculistico universitario di Heidelberg, Germany.

”

CLEARlog – Supporto in palmo di mano



CLEARlog è un'app intuitiva di registrazione, analisi e ottimizzazione per la cataratta e l'utilizzo di lenti refrattive.

CLEARlog consente di:

- ✓ Recuperare rapidamente dati da tutti i dispositivi
- ✓ Eseguire con facilità analisi complesse
- ✓ Generare report con un semplice clic



Per registrarsi
www.CLEARlogportal.com

HOYA Toric Calculator

✓ L'HOYA Toric Calculator è in grado di tenere conto, nel calcolo, dell'astigmatismo corneale posteriore, offrendo l'opzione di utilizzo della formula di regressione Abulafia-Koch.

✓ La regressione Abulafia-Koch, applicata a una coorte di pazienti clinici, ha dimostrato di migliorare la prevedibilità degli esiti refrattivi delle IOL toriche.¹⁸



Visitare
www.HOYAtoric.com

Dietro ad ogni grande oftalmologo

c'è una comunità di visionari che possono contare l'uno sull'altro

Accedere a Masters per scoprire

- ✓ ✓ Contenuti formativi di alta qualità
- ✓ Corsi, formazione ed eventi stimolanti
- ✓ Un luogo in cui scambiare i propri punti di vista
- ✓ Il supporto di altri oftalmologi e specialisti dell'occhio



Registrazione gratuita

Masters

offerto da HOYA Surgical Optics su eLos

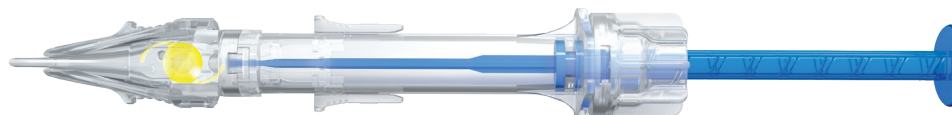
HOYA Surgical Optics è impegnata nella fornitura di IOL precaricate leader nel mondo, servizi **personalizzati e supporto specializzato.**

Per ulteriori informazioni:
www.HOYAsurgicaloptics.com

Dati tecnici

Vivonex™ Gemetric™		Vivonex™ Gemetric™ Toric	Vivonex™ Gemetric™ Plus		Vivonex™ Gemetric™ Plus Toric	Modello XY1-GT, XY1-GPT	Potere cilindrico sul piano della IOL	Potere cilindrico sul piano corneale ²⁰
Progettata per fornire una visione a distanza eccellente, nonché una visione intermedia e da vicino ben equilibrata ¹⁹			Progettata per fornire una visione da vicino eccellente, nonché una visione intermedia e a distanza ben equilibrata ¹⁹					
Nome del modello	XY1-G	XY1-GT	Nome del modello	XY1-GP	XY1-GPT	T2	1,00 D	0,69 D
Potere della IOL (equivalente sferico)	da +10,00 D a +30,00 D in incrementi di 0,50 D		Potere della IOL (equivalente sferico)	da +10,00 D a +30,00 D in incrementi di 0,50 D		T3	1,50 D	1,04 D
Potere cilindrico sul piano della IOL		1,00 D da 1,50 D a 3,75 D in incrementi da 0,75 D	Potere cilindrico sul piano della IOL		1,00 D da 1,50 D a 3,75 D in incrementi da 0,75 D	T4	2,25 D	1,56 D
Potere addizionale sul piano della IOL	Intermedio: +1,75 D Vicino: +3,50 D		Potere addizionale sul piano della IOL	Intermedio: +1,75 D Vicino: +3,50 D		T5	3,00 D	2,08 D
						T6	3,75 D	2,60 D
Costante A nominale*	119,0		Costante A nominale*	119,0		> Consultare la scheda tecnica per le specifiche complete		
Iniettore	multiSert™ precaricato		Iniettore	multiSert™ precaricato		* Il valore della costante A è indicato come riferimento di base per il calcolo del potere diottrico della lente. Quando si calcola il valore preciso del range diottrico, si raccomanda di personalizzare i calcoli in base alla propria esperienza chirurgica e agli strumenti in dotazione.		
Diametro esterno della punta dell'iniettore anteriore	1,70 mm		Diametro esterno della punta dell'iniettore anteriore	1,70 mm				
Dimensioni consigliate per l'incisione	2,20 mm		Dimensioni consigliate per l'incisione	2,20 mm				

Fornite con l'iniettore precaricato **multiSert™**



HOYA
SURGICAL OPTICS

CE 0123 2023-08-15_HSOE_XY1-G_XY1-GP_XY1-GT_XY1-GPT_BR_IT

Riferimenti bibliografici: 1. Ribeiro et al. Analysis of Daily Visual Habits in a Presbyopic Population. J Ophthalmol. 2023 Apr 8;2023:6440954. 2. Dati HOYA in archivio. CTM-23-029, HOYA Medical Singapore, Pte. Ltd, 2023 3. HOYA (2022): Vivonex Gemetric Testimonial Video E. Mertens, Video on file, 2022_05_31_05_HSOE_XY1-G_XY1-GP_XY1-GT_XY1-GPT_VD_EN_E Mertens 4. Schartmueller, D. et al. (2019): True rotational stability of a single-piece hydrophobic intraocular lens. In: The British journal of ophthalmology 103 [2], p. 186-190. 5. Pérez-Merino, P.; Marcos, S. (2018): Effect of intraocular lens decentration on image quality tested in a custom model eye. In: Journal of cataract and refractive surgery 44 [7], p. 889-896. 6. Tandogan, T. et al. (2021): In-vitro glistening formation in six different foldable hydrophobic intraocular lenses. In BMC Ophthalmol 21, 126. 7. Miyata, A. et al. (2001): Clinical and experimental observation of glistening in acrylic intraocular lenses. In: Japanese journal of ophthalmology 45 [6], p. 564-569. 8. Auffarth et al. (2023) Randomized multicenter trial to assess posterior capsule opacification and glistenings in two hydrophobic acrylic intraocular lenses. Sci Rep 13, 2822. 9. Leydolt, C. et al. (2020): Posterior capsule opacification with two hydrophobic acrylic intraocular lenses: 3-year results of a randomized trial. In: American journal of ophthalmology 217 [9], p. 224-231. 10. Giacinto, C. et al. (2019): Surface properties of commercially available hydrophobic acrylic intraocular lenses: Comparative study. In: Journal of cataract and refractive surgery 45 [9], p. 1330-1334. 11. Werner, L. et al. (2019): Evaluation of clarity characteristics in a new hydrophobic acrylic IOL in comparison to commercially available IOLs. In: Journal of cataract and refractive surgery 45 [10], p. 1490-1497. 12. Matsushima, H. et al. (2006): Active oxygen processing for acrylic intraocular lenses to prevent posterior capsule opacification. In: Journal of cataract and refractive surgery 32 [6], p. 1035-1040. 13. Farukhi, A. et al. (2015): Evaluation of uveal and capsule biocompatibility of a single-piece hydrophobic acrylic intraocular lens with ultraviolet-ozone treatment on the posterior surface. In: Journal of cataract and refractive surgery 41 [5], p. 1081-1087. 14. Eldred, J. et al. (2019): An In Vitro Human Lens Capsular Bag Model Adopting a Graded Culture Regime to Assess Putative Impact of IOLs on PCO Formation. In: Investigative ophthalmology & visual science 60 [1], p. 113-122. 15. Nanavaty, M. et al. (2019): Edge profile of commercially available square-edged intraocular lenses: Part 2. In: Journal of cataract and refractive surgery 45 [6], p. 847-853. 16. Dati HOYA in archivio. DoF-SERT-102-MULT-03052018, HOYA Medical Singapore Pte. Ltd, 2018 17. HOYA (2022): Vivonex Gemetric Testimonial Video R. Khoramnia, Video on file, 2022_05_31_05_HSOE_XY1-G_XY1-GP_XY1-GT_XY1-GPT_VD_EN_RKhoramnia 18. Abulafia, A. et al. (2016): New regression formula for toric intraocular lens calculations. In: Journal of cataract and refractive surgery 42 [5], p. 663-671. 19. Dati HOYA in archivio. HOYA Medical Singapore, 2020. 20. Sulla base di un occhio umano pseudofaco medio.

Le informazioni fornite sono riservate ad operatori sanitari. Per l'elenco completo delle indicazioni e controindicazioni consultare le Istruzioni per l'uso relative allo scopo previsto. Alcuni prodotti e/o alcune caratteristiche specifiche e procedure illustrati nel presente documento potrebbero non essere approvati nel Suo Paese, quindi potrebbero non essere disponibili nello stesso. Ci riserviamo la facoltà di apportare modifiche al design e alle specifiche senza preavviso, nell'ambito del processo continuo di sviluppo tecnico. La invitiamo a rivolgersi al nostro rappresentante regionale per conoscere la disponibilità dei prodotti nel Suo Paese. HOYA, Vivonex, Gemetric e multiSert sono marchi commerciali di HOYA Corporation o delle sue affiliate. ©2023 HOYA Medical Singapore Pte. Ltd. Tutti i diritti riservati. ■ HOYA Medical Singapore Pte. Ltd. | 455A Jalan Ahmad Ibrahim | Singapore 639939.

HOYA Surgical Optics GmbH | De-Saint-Exupery-Str. 10 | 60549 Frankfurt am Main | Germania | Numero verde DE: Tel. +49 (0)800 664 2 664 | Fax +49 (0)800 774 2 774 | hoyasurgicaloptics.com